

- Biosynthesis of silver, gold and bimetallic nanoparticles using the filamentous fungus *Neurospora crassa* [J]. *Colloids Surf B Biointerfaces*, 2011, 83(1): 42-48.
- [10] 曲明星, 姚薇, 高增贵, 等. 木霉菌辅助合成纳米银对甜瓜的防病促生作用研究[J]. 生态环境学报, 2020, 29(1): 149-155.
- [11] 毛迪, 杜宇, 赵婷婷, 等. 黄芪制备纳米银材料的抑菌性能研究[J]. 潍坊医学院学报, 2019, 41(4): 247-250.
- [12] 周凤, 张弘弛, 刘瑞, 等. 恒山黄芪内生真菌分离鉴定及抗菌活性的研究[J]. 食品科技, 2012, 37(1): 22-25; 28.
- [13] 孔悦, 王腾龙, 王新源, 等. 利用二级模型筛选源自恒山黄芪的活性内生真菌[J]. 陕西农业科学, 2016, 62(3): 44-46.
- [14] Ahila N K, Ramkumar V S, Prakash S, et al. Synthesis of stable nanosilver particles (AgNPs) by the proteins of seagrass *Syringodium isoetifolium* and its biomedicinal properties [J]. *Biomed Pharmacother*, 2016, 84: 60-70.
- [15] 刘瑞, 张弘弛, 安志鹏, 等. 一株黄芪内生真菌甾醇类代谢产物的分离和鉴定[J]. 食品工业科技, 2019, 40(8): 120-124; 130.
- [16] Bassole I H N, Ouattara A S, Nebie R, et al. Chemical composition and antibacterial activities of the essential oils of *Lippia chevalieri* and *Lippia multiflora* from Burkina Faso [J]. *Phytochemistry*, 2003, 62: 209-212.
- [17] Mohan S, Oluwafemi O S, George S C, et al. Completely green synthesis of dextrose reduced silver nanoparticles, its antimicrobial and sensing properties [J]. *Carbohydr Polym*, 2014, 106: 469-474.
- [18] Morones J R, Elechiguerra J L, Camacho A, et al. The bactericidal effect of silver nanoparticles [J]. *Nanotechnology*, 2005, 16(10): 2346.
- [19] 张映. 钩状木霉生物还原制备纳米银的研究[D]. 哈尔滨: 东北林业大学, 2015.

淫羊藿-川芎药对HPLC指纹图谱建立与骨关节炎的谱效关系研究

陈文钧¹, 骆娅¹, 章建华^{2*}, 尹华^{1*}

(1. 浙江中医药大学药学院中药标准化研究实验室, 浙江杭州311402; 2. 浙江中医药大学附属第一医院, 浙江杭州310006)

摘要: 目的 建立淫羊藿-川芎药对HPLC指纹图谱, 并分析它与骨关节炎的谱效关系。方法 HPLC法建立22批药对的指纹图谱, Hulth法建立大鼠骨关节炎模型, 酶免法检测大鼠血浆中MMP-13、MMP-3、IL-1 β 、NO、PGE₂水平, 双变量相关分析、灰色关联度分析、遗传神经网络研究其谱效关系。结果 指纹图谱中共确定20个共有峰, 通过对照品比对指出出10个。给予淫羊藿-川芎药对后, 大鼠血浆中MMP-13、MMP-3、IL-1 β 、NO、PGE₂水平降低($P<0.05$, $P<0.01$)。药对中抑制MMPs表达贡献较大的有9个峰, 为淫羊藿成分; 抑制炎性因子贡献较大的有7个峰, 为淫羊藿-川芎药对成分。结论 淫羊藿既可调控MMPs表达, 又具有抗炎作用, 而川芎主要发挥抗炎作用。

关键词: 淫羊藿-川芎药对; HPLC指纹图谱; 骨关节炎; 谱效关系; 双变量相关分析; 灰色关联度分析; 遗传神经网络

中图分类号: R284.1

文献标志码: B

文章编号: 1001-1528(2022)05-1670-05

doi: 10.3969/j.issn.1001-1528.2022.05.056

骨关节炎是一种以关节软骨退行性病变为核心, 累及骨质并包括滑膜、关节囊及关节其他结构的慢性炎症^[1-2]。骨关节炎属中医“骨痹”范畴, 临床多采用补肾活血方药治疗。淫羊藿-川芎药对取自《太平圣惠方》中的仙灵脾散, 由淫羊藿、川芎、威灵仙、肉桂、苍耳子组成, 取淫

羊藿补肾阳、强筋骨之功, 川芎活血行气、祛风止痛之效, 两药合用可标本兼治。中医骨伤科临床诊治骨关节炎时, 常以淫羊藿、川芎配伍使用, 再随证加减其他药味, 疗效显著。研究表明, 淫羊藿苷可调控软骨细胞代谢, 促进滑膜细胞增殖, 抑制MMP-13、MMP-3、IL-1 β 、PGE₂表达,

收稿日期: 2020-10-14

基金项目: 国家自然科学基金面上项目(81874340)

作者简介: 陈文钧(1995—), 女, 硕士生, 研究方向为中药分析及新药开发。Tel: 13588162411, E-mail: 13588162411@163.com

*通信作者: 章建华(1962—), 男, 教授, 主任医师, 硕士生导师, 研究方向为骨关节病的基础研究、临床诊治及骨伤中药新药开发。Tel: 13588193391, E-mail: zhangjh311@163.com

尹华(1965—), 女, 教授, 博士生导师, 研究方向为中药分析及质量评价、药效物质基础及中药新药开发。Tel: (0571) 61768172, E-mail: maryyinhuah@163.com

从而延缓骨关节炎的发展^[3-5]; 川芎可改善外周血管循环, 抑制血小板聚集, 改善炎症^[6-7]。

本研究采用 HPLC 法建立 22 批淫羊藿-川芎药对指纹图谱, 酶联免疫法检测 MMP-13、MMP-3、IL-1β、NO、PGE₂ 水平, 应用双变量相关分析、灰色关联度分析和遗传神经网络研究其谱效关系, 初步阐明该药对治疗骨关节炎的物质基础。

1 材料

1.1 仪器 Waters alliancee 2695 高效液相色谱仪(美国 Waters 公司, 配置 e2695 分离模块、柱温箱、2998PDA 检测器、Empower 色谱工作站); MettlerXS105 电子天平(十万分之一, 瑞士 Mettler-Toledo 公司); BP211D 电子分析天平(德国赛多利斯公司); Centrifuge 5804R 高速冷冻离心机、手动移液器(德国 Eppendorf 公司); KQ5200B 型超声波清洗器(昆山市超声仪器有限公司); 高速万能粉碎机(天津市泰斯特仪器有限公司); Biorad 680 全自动酶标仪(美国 Bio-Rad 公司); Ti-S 正置显微镜(日本 Nikon 公司)。

表 1 淫羊藿饮片信息

序号	批号	生产厂家	产地	序号	批号	生产厂家	产地
1	171218	义乌市三溪堂国药馆	陕西	12	180401	杭州市富阳区第一人民医院	甘肃
2	160830	义乌市普泽大药房	甘肃	13	181207	杭州市富阳中医骨伤医院	陕西
3	180101	浙江天道医药有限公司	甘肃	14	180427	浙江省中医院	陕西
4	170501	浙江天道医药有限公司	甘肃	15	180501	义乌市中医医院	甘肃
5	171218	浙江中医药大学名中医馆	陕西	16	20161203	义乌市中心医院	甘肃
6	180409	宁波鄞州区白鹤街道社区卫生服务中心	福建	17	180304	浙江医院灵隐院区	陕西
7	180304	义乌市稠州医院	陕西	18	180604	杭州市第一人民医院	陕西
8	180110	安徽省芜湖市南陵同仁大药房	陕西	19	1711011	胡庆余堂	四川
9	180100751	康美药业股份有限公司	甘肃	20	180908	浙江大学医学院附属第二医院	陕西
10	180304	温州市泰顺人民医院	陕西	21	171017	方回春堂	甘肃
11	180612	文择轩中药材批发有限公司	陕西	22	180906	浙江医院三墩院区	陕西

表 2 川芎饮片信息

序号	批号	公司	产地	序号	批号	公司	产地
1	1708013	浙江省义乌市三溪堂国药馆	四川	12	180301	杭州市富阳区第一人民医院	四川
2	180101	温州市泰顺中医院	四川	13	180206003	杭州市富阳中医骨伤医院	四川
3	171201	浙江天道医药有限公司	四川	14	180310	浙江省中医院	四川
4	1804065	温州市泰顺中医院	四川	15	180501	义乌市中医医院	四川
5	170601	浙江中医药大学名中医馆	四川	16	20170538	义乌市中心医院	四川
6	180228	宁波鄞州区白鹤街道社区卫生服务中心	四川	17	180619	浙江医院灵隐院区	四川
7	1802005	义乌市稠州医院	四川	18	1804033	杭州市第一人民医院	四川
8	180506	芜湖市南陵同仁大药房	四川	19	171218	胡庆余堂	四川
9	180100591	康美药业股份有限公司	四川	20	180403	浙江大学医学院附属第二医院	四川
10	1803014	温州市泰顺人民医院	四川	21	180523	方回春堂	四川
11	180612	文择轩中药材批发有限公司	四川	22	180105	浙江医院三墩院区	四川

1.3 动物 清洁级 SD 大鼠, 雌雄各半, 体质量 180~220 g, 购自上海斯莱克实验动物有限公司, 实验动物生产许可号 SCXK(沪)2017-0005, 饲养于浙江中医药大学动物实验中心屏障系统内。

2 方法与结果

1.2 试剂与药物 淫羊藿、川芎饮片共 22 批, 具体信息见表 1~2, 经浙江中医药大学药学院中药鉴定教研室鉴定为正品, 编号 S1~S22。硫酸氨基葡萄糖胶囊购自永信药品工业(昆山)股份有限公司, 批号 GSCyK004; 塞来昔布胶囊购自美国 Pfizer 公司, 批号 W64712。绿原酸购自中国食品药品检定研究院, 纯度均>98%, 批号 0753-200111; 阿魏酸、朝藿定 A、朝藿定 B、朝藿定 C、淫羊藿苷、宝藿苷 I、藁本内酯对照品购自上海源叶生物科技有限公司, 纯度均>98%, 批号 B20007、B20170、B20172、B20173、B21576、B20075、B20492; 洋川芎内酯 I、洋川芎内酯 A 购自成都克洛玛生物科技有限公司, 纯度均>98%, 批号 CHB180617、CHB180615。MMP-13、MMP-3、IL-1β、NO、PGE₂ 试剂盒均购自江苏酶免实业有限公司, 批号 MM-O11OR1、MM-0112R1、MM-0047R1、MM-20607R1、MM-0068R1。乙腈、甲醇为色谱纯; 其他试剂均为分析纯; 水为娃哈哈纯净水。

2.1 HPLC 指纹图谱建立

2.1.1 色谱条件 按照文献[8-9]报道, Eclipse XDB-C₁₈ 色谱柱(4.6 mm×250 mm, 5 μm); 流动相乙腈(A)-0.1% 磷酸(B), 梯度洗脱, 程序见表 3; 体积流量 1 mL/min; 柱温 30 °C; 检测波长 275 nm; 进样量 10 μL。

表3 梯度洗脱程序

时间/min	A 乙腈/%	B 0.1% 磷酸/%
0	9	91
13	12	88
15	18	82
21	18	82
22	21	79
29	21	79
30	25	75
48	25	75
49	32	68
67	32	68
68	44	56
77	44	56
78	56	44
87	56	44
88	100	0
95	100	0

2.1.2 溶液制备

2.1.2.1 供试品溶液 精密称取淫羊藿(批号180101)、川芎(批号171201)饮片粉末各0.2g(过40目筛)，置于50mL具塞锥形瓶中，加入80倍量50%乙醇，称定质量，在40℃下超声处理30min，冷却至室温，50%乙醇补足减失的质量，滤过，取续滤液，12000r/min离心15min，取上清液，即得。

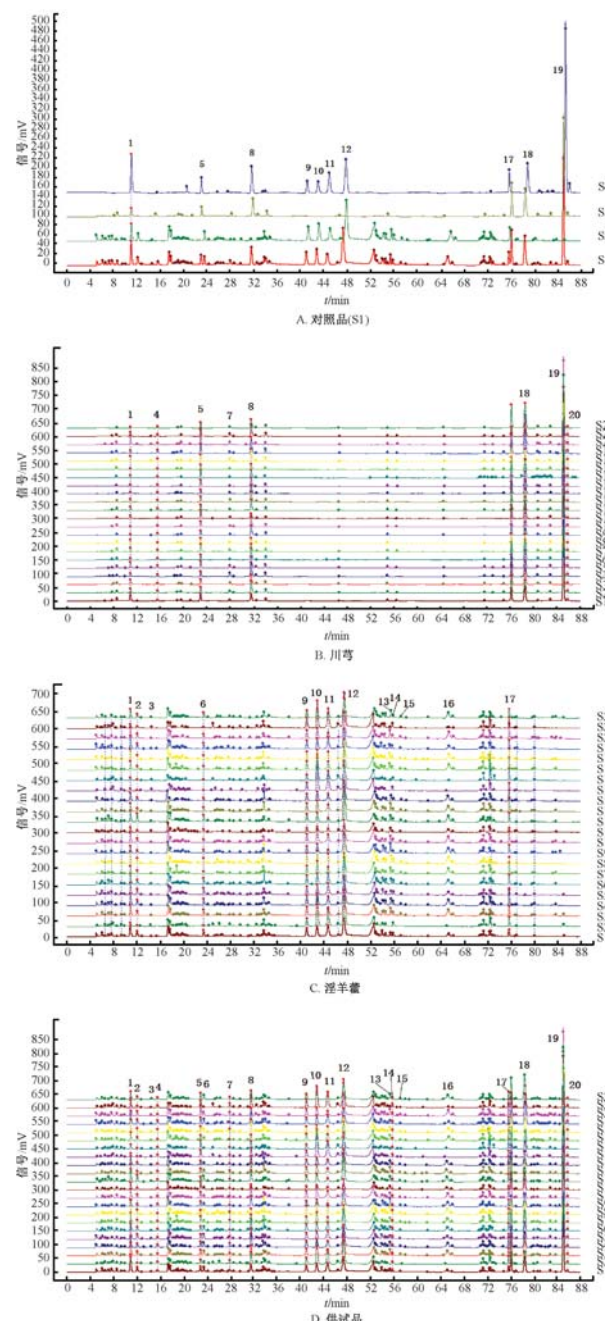
2.1.2.2 对照品溶液 精密称取绿原酸、阿魏酸、洋川芎内酯I、朝藿定A、朝藿定B、朝藿定C、淫羊藿苷、宝藿苷I、洋川芎内酯A、藁本内酯适量，置于10mL量瓶中，甲醇制成质量浓度为2.255、2.330、2.167、2.041、2.042、2.327、2.173、2.112、2.261、2.049mg/mL的溶液，即得。

2.1.3 方法学考察 以朝藿定C(11号峰)为参照峰，取同一供试品溶液，在“2.1.1”项色谱条件下进样测定6次，测得各成分色谱峰相对保留时间RSD均<1.7%，相对峰面积均RSD<2.8%，表明仪器精密度良好。按“2.1.2.1”项下方法制备供试品溶液6份，在“2.1.1”项色谱条件下进样测定，测得各成分色谱峰相对保留时间RSD均<0.1%，相对峰面积RSD均<2.9%，表明该方法重复性良好。取同一供试品溶液，于0、2、4、8、12h在“2.1.1”项色谱条件下进样测定，测得各成分色谱峰相对保留时间RSD均<1.2%，相对峰面积RSD均<2.9%，表明溶液在12h内稳定性良好。

2.1.4 图谱生成 按“2.1.2.1”项下方法制备22批药对的供试品溶液，在“2.1.1”项色谱条件下进样测定，采用中药色谱指纹图谱相似度评价系统建立指纹图谱，共确定20个共有峰，见图1，再采用SPSS 17.0软件，以共有峰峰面积为变量，将22批次饮片分为7类，见图2。最终，选取S3、S19、S12、S21进行后续药效学研究。

2.2 药效学研究

2.2.1 造模与给药 56只大鼠适应性饲养1周后，分为正



注：S2为淫羊藿对照图谱，S3为川芎对照图谱，S4为对照品溶液。
1. 绿原酸 5. 阿魏酸 8. 洋川芎内酯I 9. 朝藿定A 10. 朝藿定B 11. 朝藿定C 12. 淫羊藿苷 17. 宝藿苷I 18. 洋川芎内酯A 19. 藁本内酯

图1 22批药对HPLC指纹图谱

常组(8只)和造模组(48只)，造模组大鼠采用切断前交叉韧带并损伤半月板法建立骨关节炎模型，术后每天腹腔注射青霉素40000U/只，连续3d，以预防感染。

图2显示，22批药对分为7类，其中S16、S11、S20这3批饮片单独成类，样本量较少，无可比性，故选取其他4类中的各1批。将造模组大鼠随机分为模型组，淫羊藿-川芎药对I、II、III、IV组，阳性药组，每组8只，雌雄分笼饲养，正常饮水摄食。

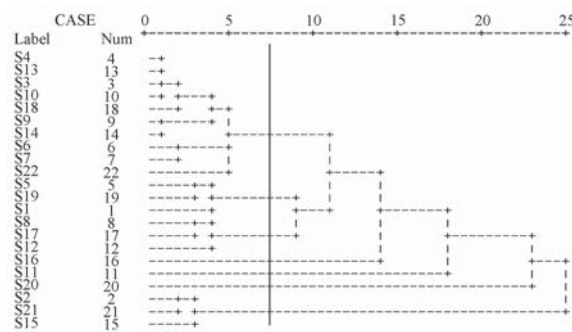


图2 22批药对聚类分析图

造模3 d后,淫羊藿-川芎药对I、II、III、IV组大鼠分别灌胃给予2 g/mL药液,阳性药物组大鼠灌胃给予

2 mg/mL塞来昔布、12.5 mg/mL硫酸氨基葡萄糖溶液,剂量均为1 mL/100 g;正常组、模型组大鼠灌胃给予等体积蒸馏水。

2.2.2 淫羊藿-川芎药对对骨关节炎大鼠血浆中MMP-13、MMP-3、IL-1 β 、NO、PGE₂水平的影响 给药8周后,大鼠禁食12 h,腹腔注射3%戊巴比妥(0.15 mL/100 g)麻醉,心脏取血,4℃、3 000 r/min离心20 min,分离血浆,按酶联免疫检测试剂盒说明书操作,检测血浆中MMP-13、MMP-3、IL-1 β 、NO、PGE₂水平,结果见表4。由此可知,与正常组比较,模型组大鼠血浆中MMP-13、MMP-3、IL-1 β 、NO、PGE₂水平升高($P<0.01$);与模型组比较,各淫羊藿-川芎药对组和阳性药组大鼠血浆中MMP-13、MMP-3、IL-1 β 、NO、PGE₂水平降低($P<0.05$, $P<0.01$)。

表4 淫羊藿-川芎药对对大鼠血浆中MMP-13、MMP-3、IL-1 β 、NO、PGE₂水平的影响($\bar{x}\pm s$, n=8)

组别	MMP-13/(ng·mL ⁻¹)	MMP-3/(ng·mL ⁻¹)	IL-1 β /(pg·mL ⁻¹)	NO/(μmol·L ⁻¹)	PGE ₂ /(pg·mL ⁻¹)
正常组	282.6±17.92	20.80±1.309	31.48±1.534	27.58±1.775	368.8±17.47
模型组	330.5±22.60**	23.90±2.192**	36.81±1.667**	34.44±2.155**	436.5±29.60**
淫羊藿-川芎药对I组	307.7±14.21* Δ	21.86±0.9913 Δ	33.00±2.107 $\Delta\Delta$	28.79±2.460 $\Delta\Delta$	378.3±14.32 $\Delta\Delta$
淫羊藿-川芎药对II组	305.1±20.08* Δ	21.01±2.248 Δ	31.65±1.294 $\Delta\Delta$	28.04±1.943 $\Delta\Delta$	373.5±37.83 $\Delta\Delta$
淫羊藿-川芎药对III组	302.2±25.42 Δ	20.84±0.9785 $\Delta\Delta$	33.04±2.487 $\Delta\Delta$	32.91±2.403**	378.2±14.42 $\Delta\Delta$
淫羊藿-川芎药对IV组	289.0±33.53 Δ	21.79±1.224 Δ	33.90±1.947* $\Delta\Delta$	31.80±2.364*** Δ	380.3±27.20 $\Delta\Delta$
阳性药组	309.4±13.43** Δ	20.90±2.051 Δ	31.81±1.697 $\Delta\Delta$	30.76±3.983 Δ	374.8±40.36 $\Delta\Delta$

注:与正常组比较,* $P<0.05$,** $P<0.01$;与模型组比较, $\Delta P<0.05$, $\Delta\Delta P<0.01$ 。

2.3 谱效关系研究 以20个共有峰峰面积为X,MMP-13、MMP-3、IL-1 β 、NO、PGE₂水平分别为Y₁、Y₂、Y₃、Y₄、Y₅,将数据进行归一化处理后,采用双变量相关分析、灰色关联度分析、遗传神经网络^[10-13]进行分析,结果见表5。双变量相关分析得出,1(绿原酸)、9(朝藿定A)、10(朝藿定B)、17(宝藿苷I)号峰对抑制MMPs(MMP-13、MMP-3)水平的贡献较大,5(阿魏酸)、10(朝藿定B)、18(洋川芎内酯A)号峰对抑制炎性因子(IL-1 β 、NO、PGE₂)水平的贡献较大;灰色关联度分析

得出,2、11(朝藿定C)、12(淫羊藿苷)号峰与MMPs关联度大于0.7,说明这3种成分对抑制MMPs表达的贡献较大,而其他共有峰均在0.6~0.7之间;遗传神经网络分析得出,9(朝藿定A)、16、12(淫羊藿苷)、13号峰对抑制MMPs表达贡献较大,3、6、10(朝藿定B)、15、2号峰对抑制炎性因子的表达贡献较大。3种分析方法表明,抑制MMPs表达贡献较大的为1(绿原酸)、2、9(朝藿定A)、10(朝藿定B)、11(朝藿定C)、12(淫羊藿苷)、13、16、17(宝藿苷I)号峰,均为

表5 相关系数测定结果

	Y_1 MMP-13			Y_2 MMP-3			Y_3 IL-1 β			Y_4 NO			Y_5 PGE ₂		
	相关系数	灰色关联度分析	双变量相关分析	遗传神经网络	相关系数	灰色关联度分析	双变量相关分析	遗传神经网络	相关系数	灰色关联度分析	双变量相关分析	遗传神经网络	相关系数	灰色关联度分析	双变量相关分析
X_1	0.561	-0.373	0.478	0.6911	0.210	-5.668	0.639	0.324	-1.284	0.629	0.094	2.717	0.627	-0.141	0.824
X_2	0.733	-0.134	-5.299	0.4720	0.296	-1.119	0.477	0.347	0.085	0.547	0.265	-6.298	0.516	-0.055	0.929
X_3	0.619	-0.128	4.122	0.5752	-0.248	1.467	0.652	-0.054	0.199	0.632	-0.055	-38.880	0.635	0.104	0.216
X_4	0.655	0.341	6.257	0.5906	0.218	-3.234	0.638	0.390	1.756	0.666	0.398	0.569	0.655	0.222	0.120
X_5	0.591	0.065	-2.436	0.6512	0.148	2.513	0.630	-0.141	-0.283	0.582	-0.540	-1.494	0.589	-0.086	1.993
X_6	0.680	-0.081	2.051	0.4873	0.232	-2.099	0.507	0.395	0.921	0.553	0.480	-23.300	0.532	0.053	1.425
X_7	0.514	-0.127	6.333	0.5885	-0.059	2.054	0.440	-0.123	0.020	0.449	-0.075	-4.996	0.440	0.153	2.533
X_8	0.556	0.081	6.668	0.6058	0.250	1.728	0.551	0.373	0.761	0.560	0.519	-1.598	0.549	0.144	0.138
X_9	0.676	-0.369	-26.870	0.5646	-0.130	-1.502	0.581	-0.061	-0.042	0.621	0.025	0.731	0.604	0.062	-2.566
X_{10}	0.389	-0.018	4.156	0.5648	-0.319	-5.649	0.376	-0.418	-1.521	0.366	-0.354	-7.080	0.364	-0.006	-0.237
X_{11}	0.715	0.021	3.289	0.5043	-0.057	-2.085	0.583	0.067	3.945	0.665	0.410	-0.943	0.636	0.234	0.426
X_{12}	0.521	-0.094	-11.430	0.7077	-0.195	-2.015	0.593	-0.194	3.727	0.553	-0.227	-0.254	0.560	-0.008	1.195
X_{13}	0.519	-0.157	-10.870	0.6556	0.273	-4.701	0.508	0.294	0.408	0.516	-0.196	36.120	0.506	-0.228	-0.091
X_{14}	0.533	0.160	1.871	0.5135	0.278	7.193	0.473	0.542	-0.653	0.477	0.516	1.697	0.473	0.156	1.819
X_{15}	0.414	-0.183	-2.317	0.6511	0.008	-0.923	0.443	0.192	0.966	0.414	-0.014	-6.494	0.417	0.067	-0.133
X_{16}	0.534	-0.117	-15.930	0.6318	0.338	0.694	0.536	0.443	0.550	0.520	0.038	-1.474	0.518	-0.130	-0.965
X_{17}	0.622	-0.340	-1.530	0.6631	-0.148	1.563	0.540	0.060	0.556	0.553	-0.171	0.987	0.543	-0.167	-0.563
X_{18}	0.583	0.109	11.390	0.5679	0.365	1.411	0.618	0.052	-1.466	0.593	-0.491	0.637	0.600	-0.069	-0.456
X_{19}	0.462	0.057	8.039	0.5777	0.304	2.952	0.429	0.348	3.785	0.434	-0.096	0.525	0.426	-0.100	0.113
X_{20}	0.594	0.221	-7.220	0.5388	0.266	-3.370	0.485	0.550	-2.262	0.505	0.582	-0.348	0.491	0.160	1.022

淫羊藿成分；抑制炎性因子贡献较大的为2、3、5（阿魏酸）、6、10（朝藿定B）、15、18（洋川芎内酯A）号峰，均为淫羊藿-川芎药对成分。

3 讨论

本研究考察提取方式（超声、回流）、提取时间（15、30、45、60 min）、溶剂倍数（40、80、100、120、150、200倍）、浸泡时间（0、0.5、1、2 h）等，以绿原酸、阿魏酸、洋川芎内酯I、朝藿定A、朝藿定B、朝藿定C、淫羊藿苷、宝藿苷I、洋川芎内酯A、藁本内酯10个成分的提取率、色谱峰响应及分离情况为评价指标，确定供试品溶液的制备方法。

骨关节炎的发病机制有基质金属蛋白酶、炎性因子和一氧化氮学说等。基质金属蛋白酶过表达会导致软骨退化，MMP-13是作用于软骨降解的主要酶^[14-15]；IL-1β是促使软骨代谢平衡转向分解和退化的细胞因子之一，诱导滑膜和软骨产生MMPs等蛋白水解酶造成软骨基质的降解破坏；PGE₂参与全身的炎症反应，导致软骨下骨的吸收，影响骨与软骨合成代谢，并通过细胞间cAMP的积累诱导软骨细胞凋亡^[16-17]；炎性介质导致NO合成增多，导致滑膜、软骨的氧化损伤。选择MMP-13、MMP-3、IL-1β、NO、PGE₂进行药效评价，可客观准确地评价淫羊藿-川芎药对对骨关节炎的治疗作用。4批淫羊藿-川芎药对、阳性药给药后，骨关节炎大鼠血浆中各指标含量均下降，说明淫羊藿-川芎药对对骨关节炎确切有效。

采用3种统计方法联用并进行交叉验证，结果更准确。结果显示，淫羊藿中1（绿原酸）、2、9（朝藿定A）、10（朝藿定B）、11（朝藿定C）、12（淫羊藿苷）、13、16、17（宝藿苷I）号峰对抑制MMPs表达贡献较大，淫羊藿-川芎药对中2、3、5（阿魏酸）、6、10（朝藿定B）、15、18（洋川芎内酯A）号峰抑制炎性因子贡献较大。综上所述，淫羊藿对抑制MMPs表达贡献较大，而抑制炎性因子的表达是淫羊藿-川芎药对协同作用的结果，初步阐明了淫羊藿-川芎药对治疗骨关节炎的物质基础。

参考文献：

- [1] 陈孝平, 汪建国. 外科学[M]. 北京: 人民卫生出版社, 2013.
- [2] Angele P, Madry H, Kon E. Early OA: point of no return or a chance for regenerative approaches[J]. *Knee Surg Sports Traumato Arthrosc*, 2016, 24(6): 1741-1742.
- [3] 金剑飞, 何维英, 周钰龙. 淫羊藿总黄酮对膝关节骨性关节炎大鼠核因子-κB通路的影响[J]. 中国中医骨伤科杂志, 2020, 28(3): 5-9; 14.
- [4] Pan L H, Zhang Y H, Chen N, et al. Icariin regulates cellular functions and gene expression of osteoarthritis patient-derived human fibroblast-like synoviocytes[J]. *Int J Mol Sci*, 2017, 18(12): 2656.
- [5] Zeng L, Rong X F, Li R H, et al. Icariin inhibits MMP-1, MMP-3 and MMP-13 expression through MAPK pathways in IL-1β-stimulated SW1353 chondrosarcoma cells[J]. *Mol Med Rep*, 2017, 15(5): 2853-2858.
- [6] 陈岩, 王拥军, 徐浩, 等. 川芎嗪对白介素-1β诱导退变的椎间盘终板软骨细胞的保护作用[J]. 中华中医药杂志, 2015, 30(5): 1437-1442.
- [7] 张丽娟, 刘继勇, 姚翀, 等. 洋川芎内酯类化合物药理作用研究进展[J]. 中国药学杂志, 2015, 50(13): 1081-1084.
- [8] 刘娟, 冯芮, 蒲忠慧, 等. 指纹图谱结合HPLC定量分析在中药川芎质量评价中的应用研究[J]. 中药材, 2019, 42(2): 353-357.
- [9] 马越, 李德坤, 叶正良, 等. 基于一测多评法测定淫羊藿中6种黄酮类化合物的含量[J]. 中药材, 2019, 42(5): 1071-1076.
- [10] 商利娜, 王亚静, 赵鑫, 等. 基于谱-效关系探究黄芩抑制白色念珠菌的质量标志物[J]. 中成药, 2020, 42(5): 1357-1361.
- [11] 李进. 基于改进遗传神经网络的软件可靠性模型研究[D]. 成都: 电子科技大学, 2014.
- [12] 薛翔. 人工智能在糖尿病诊断中的应用研究[D]. 兰州: 兰州理工大学, 2018.
- [13] Liu C C, Zhang Y, Dai B L, et al. Chlorogenic acid prevents inflammatory responses in IL-1β stimulated human SW-1353 chondrocytes, a model for osteoarthritis[J]. *Mol Med Rep*, 2017, 16(2): 1369-1375.
- [14] Li H, Wang D, Yuan Y J, et al. New insights on the MMP-13 regulatory network in the pathogenesis of early osteoarthritis[J]. *Arthritis Res Ther*, 2017, 19(1): 248-259.
- [15] Kunisch E, Kinne R W, Alsalameh R J, et al. Pro-inflammatory IL-1beta and/or TNF-alpha up-regulate matrix metalloproteases-1 and -3 mRNA in chondrocyte subpopulations potentially pathogenic in osteoarthritis: *in situ* hybridization studies on a single cell level[J]. *Int J Rheum Dis*, 2016, 19(6): 557-566.
- [16] 窦鹏程. 四种药物对骨关节炎滑膜成纤维细胞分泌IL-1β、MMP-13、PGE2的影响[D]. 长沙: 中南大学, 2012.
- [17] 王凤龙. OA滑膜细胞中IL-18及PGE2含量测定及意义[D]. 广州: 南方医科大学, 2010.